

Ağaç Kullanımı ile Doğrusal Olmayan Bağlanım Probleminin Çözümü

A Tree-Based Solution to Nonlinear Regression Problem

Oğuzhan Demir¹, Mohammadreza Mohaghegh N.¹, İbrahim Delibalta², Süleyman S. Kozat¹

¹Elektrik ve Elektronik Mühendisliği Bölümü, Bilkent Üniversitesi, Ankara, Türkiye

{odemir, mohammadreza, kozat}@ee.bilkent.edu.tr

²Türk Telekom Labs, İstanbul, Türkiye

{ibrahim.delibalta}@turktelekom.com.tr

Özetçe —Bu bildiri, ardışık doğrusal olmayan bağlanım problemi için yeni bir algoritma sunulmuştur. Bu algortimada doğrusal olmayan bağlanım modelini bulmak için parçalı doğrusal fonksiyonlar kullanılmıştır. Daha doğru ve hızlı bir yakınsama elde etmek için belirli bir şekilde oluşturulmuş parçalı doğrusal fonksiyonların ağırlıklı kombinasyonu kullanılmıştır. Bu parçalı fonksiyonlar bir "lexicographical" ağacın düğümleri tarafından temsil edilen farklı uyarlanırlar doğrusal fonksiyonların birleştirilmesi ile oluşturulmuştur. Bu ağaç yapısı hesaplama karmaşıklığını önemli ölçüde azaltmıştır. Yeni sunulan algoritmanın performansını göstermek için, gerçek veri kümesi ile yapılan deneyler sunulmuştur.

Anahtar Kelimeler—Parçalı doğrusal, doğrusal olmayan bağlanım, lexicographical ağaç, uyarlanırlar.

Abstract—In this paper, we offer and examine a new algorithm for sequential nonlinear regression problem. In this architecture, we use piecewise adaptive linear functions to find the nonlinear regression model sequentially. For more accurate and faster convergence, we combine a large class of piecewise linear functions. These piecewise linear functions are constructed by composing different adaptive linear functions, which are represented by the nodes of a lexicographical tree. With this tree structure, computational complexity of the algorithm is significantly reduced. To show the performance of the proposed algorithm, we present a simulation which is performed by using a well-known real data set.

Keywords—Piecewise linear, nonlinear regression, lexicographical tree, adaptive.

I. GİRİŞ

Sinyal işlemede ve otomatik öğrenmede uyarlanırlar doğrusal bağlanım sıklıkla kullanılmaktadır [1]. Kanal kestirme, kanal denkleştirme, gürültü yok etme gibi birçok sinyal işleme probleminde uyarlanırlar doğrusal bağlanım yöntemleri çoğu zaman yeterli performans gösterirler [2]. Bu yöntemlerin bu kadar sık kullanılmasının nedeni doğrusal olmayan bağlanım yöntemlerine göre daha kolay tasarlanması ve analiz edilebilmesinin yanı sıra hesaplama karmaşıklığının da düşük olmasıdır. Doğrusal olmayan bağlanım yöntemlerinin modelleme gücü doğrusal olan-

lara göre fazla olmasına rağmen tasarımı zordur ve hesaplama karmaşıklığı fazladır [3].

Bu bildiri, yukarıda bahsedilen doğrusal olmayan bağlanımdaki problemler uyarlanırlar doğrusal bağlanım modelleri kullanılarak çözülmüştür. Bu çözümdeki ana yöntem bağlanım düzleminin ayrık bölgelere bölünüp, her ayrık bölgede bağımsız uyarlanırlar doğrusal modeller oluşturulmaktadır. Bu yöntem parçalı uyarlanırlar doğrusal bağlanım olarak adlandırılabilir. Bu yöntemdeki zorluk bağlanım düzleminin kaç parçaya bölüneceğinin ve bölünmenin nereden yapılacağıının bilinmemesidir. Bu zorluk birçok sayıda farklı parçalı uyarlanırlar doğrusal bağlanım modellerinin ağırlıklı ortalaması alınarak aşılmıştır. Bu sayede algoritmanın doğrusal olmayan bağlanım fonksiyonlarını modelleme gücü önemli ölçüde artırılmıştır.

Literatürde var olan birçok yöntemde, hesaplama karmaşıklığı daha düşük bir algoritma elde etmek için parçalı uyarlanırlar doğrusal modelleri oluştururken ağaç yapısı kullanılmıştır. Ağaç yapısı için literatürde sıklıkla kullanılan bağlam veya karar ağaçlarından [4] farklı olarak ağacın modelleme gücünü artırmak amacıyla lexicographical [5] ağaç kullanılmıştır. Parametresi D olan bir ağaç yapısı ile 2^D farklı parçalı uyarlanırlar doğrusal model tanımlıdır ve bu modelleri oluşturmak için yaklaşık olarak $D^2/2$ doğrusal model gereklidir. Lexicographical ağacın bu özelliği sayesinde hesaplama karmaşıklığı üstel seviyeden ikinci dereceden polinom seviyesine düşürülmüştür.

Bu bildiri önerilen algoritma sayesinde, hesaplama karmaşıklığı bakımından varolan diğer ardışık doğrusal olmayan bağlanım algoritmalarına göre daha fonksiyonel olan bir algoritma elde edilmiştir. Daha önemlisi bu algoritma çalışması zor olduğu düşünülen doğrusal olmayan bağlanım problemlerini, üzerinde çok çalışılmış ve iyi bilinen doğrusal bağlanım problemleri ile ilişkilendirerek kolaylaştırmıştır. Ayrıca, bu sayede doğrusal bağlanım problemleri için geliştirilmiş tüm algoritmalar basit bir şekilde bu bildiri oluşturulan algoritmanın içinde kullanılabilir.

Bu bildiri problemin matematiksel tanımı, lexicographical ağaç algoritmasının oluşturulması, verimli hesaplama yönteminin tanımlanması, simulasyon ve sonuçlar kısmının verilmesi şeklinde devam edecektir.

II. PROBLEM TANIMI

Bu bildiride istenen sinyal $\{d_t\}_{t \geq 1}$, $d_t \in \mathbb{R}$ and bağlanım vektörleri $\{\mathbf{u}_t\}_{t \geq 1}$, $\mathbf{u}_t \in [-A, A]^m$, $A \in \mathbb{R}$ ile ifade edilmektedir. Bu bildirideki temel amaç bağlanım vektörleri ile istenen sinyal arasındaki bağlantıyı veren doğrusal olmayan uyarlanabilir fonksiyonu bulmaktır:

$$\hat{d}_t = f_t(\mathbf{u}_t). \quad (1)$$

Denklem (1)'de, \hat{d}_t doğrusal olmayan uyarlanabilir fonksiyonun $t \geq 1$ anındaki kestirimini göstermektedir. Bu tahmine bağlı olarak yapılan hata

$$e_t = d_t - \hat{d}_t \quad (2)$$

ile gösterilir. Bu bildiride, n anındaki en iyi doğrusal olmayan uyarlanabilir fonksiyonu bulurken aşağıdaki optimizasyon problemini kullandık:

$$\min_{f_n(\cdot)} \sum_{t=1}^n e_t^2. \quad (3)$$

(3)'teki problem çözülmesi çok zor bir problem, çünkü $f_n(\cdot)$ 'i bulmak için tüm doğrusal olmayan bağlanım fonksiyonlarını düşünmemiz gerekir. Aslında derecesi n olan bir polinomla toplam hatayı 0 yapan $f_n(\cdot)$ 'i bulabiliriz, ancak bu hesaplama karışıklığı bakımından çözülmesi çok zor bir problem olur. Bu nedenle (3)'de tanımlanan genel problemi çözülebilir hale getirmek için $f_n(\cdot)$ 'e parçalı doğrusal fonksiyon olma kısıtlaması getirdik. Bağlanım uzayı $[-A, A]^m = \bigcup_{p=1}^P R_p$ ve $R_i \cap R_j = \emptyset, \forall i, j, 1 \leq i \neq j \leq P$ şeklinde parçalandığında, t anındaki $f_t(\cdot)$ 'yi aşağıdaki gibi ifade edebiliriz:

$$f_t(\mathbf{u}_t) = \mathbf{v}_{t,I(\mathbf{u}_t)}^T \mathbf{u}_t + b_{t,I(\mathbf{u}_t)}. \quad (4)$$

burada $I(\mathbf{u}_t) = p$ öyleki eğer $\mathbf{u}_t \in R_p$ ve $p = 1, 2, \dots, P$. (4)'de verilen denklemi $\mathbf{u}_t = [\mathbf{u}_t; 1]$ and $\mathbf{v}_{I(\mathbf{u}_t)} = [\mathbf{v}_{I(\mathbf{u}_t)}; b_{I(\mathbf{u}_t)}]$ değişikliklerini yaparak aşağıdaki gibi ifade edebiliriz:

$$f_t(\mathbf{u}_t) = \mathbf{v}_{t,I(\mathbf{u}_t)}^T \mathbf{u}_t. \quad (5)$$

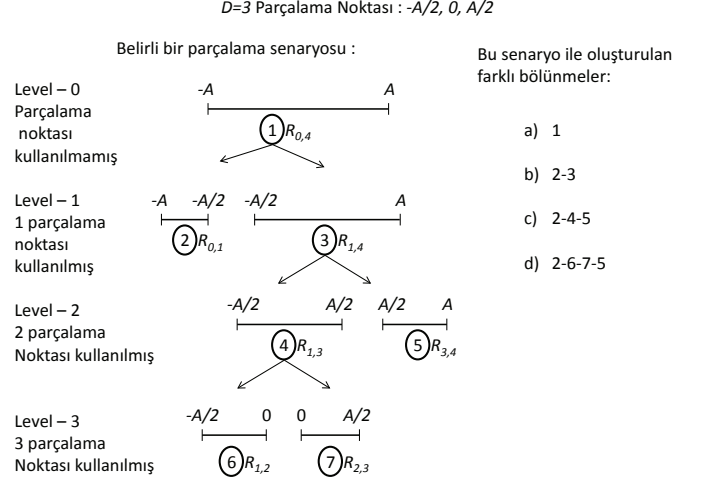
Problemi bu şekilde kolaylaştırdıktan sonra, her t anındaki bağlanım vektörü gözleminden sonra sadece bu anındaki bağlanım vektörünün içinde bulunduğu ayırık bölgedeki doğrusal uyarlanabilir modeli güncelleyerek aradığımız parçalı doğrusal modele doğru yaklaşabiliriz. Bu bildiride doğrusal modelleri güncellemek için olasılıksal bayır inişi (SGD) [2] algoritmasını kullandık.

Eğer problemi çözmeden önce bağlanım uzayını nasıl parçalayacağımızı bilseydik, bu aşamada problemi çözmek için (5)'i ve SGD algoritmasını kullanabilirdik. Biz bu bilgiye hiçbir şekilde sahip olmadığımızı kabul ediyoruz, bu nedenle çözülmesi gereken problem aşağıdaki gibi ifade edilmelidir:

$$\begin{aligned} & \mathbf{v}_1^*, \mathbf{v}_2^*, \dots, \mathbf{v}_P^*, R_1^*, R_2^*, \dots, R_P^* \\ & = \min_{R_1, R_2, \dots, R_P} \min_{\mathbf{v}_1, \mathbf{v}_2, \dots, \mathbf{v}_P} \sum_{t=1}^n (d_t - \mathbf{v}_{I(\mathbf{u}_t)}^T \mathbf{u}_t)^2, \quad (6) \end{aligned}$$

(6)'daki problem yine çözülmesi çok zor bir problemdir. Bu nedenle bu problemi çözmek yerine, D parametrelili lexicographical ağacı kullanarak 2^D tane parçalı doğrusal bağlanım modeli oluşturup, bu modellerin ağırlıklı ortalamasını alıyoruz.

Bir dahaki bölümde, lexicographical parçalama yöntemini tanıtacağız, daha sonra bu parçalama sonucunda oluşabilecek



Şekil 1. $D = 3$ ve $\mathbf{u}_t \in [-A, A]$ durumunda lexicographical parçalama grafiği.

tüm parçalı uyarlanabilir doğrusal modelleri, hesaplama açısından nasıl etkili bir şekilde birleştirebileceğimizi göstereceğiz.

III. LEXICOGRAPHICAL AĞAÇ ALGORİTMASI

Algoritmanın son halini sunmadan önce, parametresi D olan lexicographical parçalama sonucunda nasıl 2^D parçalı doğrusal model elde edebileceğimizi, oluşan bu modelleri nasıl birleştirebileceğimizi ve son olarak bu işlemin hesaplama karışıklığını nasıl azaltacağımızı göstereceğiz.

Anlatım açısından kolay olması için, lexicographical parçalama ve algoritmanın kurulmasını 1-boyutlu bağlanım uzayı için açıklayacağız. Algoritmanın yüksek boyutlu uzaya uyarlanması basit bir şekilde yapılabilir.

A. 1-Boyutlu Uzayın Lexicographical Parçalanması

1-Boyutlu durum için bağlanım uzayı bir doğru parçası oluşturur öyleki tüm $t \geq 1$ için $\mathbf{u}_t = u_t \in [-A, A]$. D -parametrelili lexicographical parçalama için, D adet parçalama hiperdüzlemi kullanabiliriz. 1-Boyutlu durum için, bu hiperdüzlemler $[-A, A]$ içinde bulunan birer noktadır. Bu noktaları istediğimiz şekilde seçebiliriz. Bu bildiride bu noktaları bağlanım doğru parçasını $D + 1$ eşit uzunluktaki doğru parçasına bölecek biçimde seçtik. Şekil 1'in üst kısmında bu noktaların $D = 3$ durumunda nasıl seçildiğini görebiliriz. Bu şekilden takip edilebileceği üzere şekilde verilen grafiğin her seviyesinde kullanılmamış olan herhangi bir parçalama noktası kullanarak bağlanım noktası olabildiğince küçük parçalara ayrılmaktadır. Şekil 1'de görülebileceği üzere bu işlem tüm kullanılmamış parçalama noktaları için her seviyede yalnızca 1 parçalama noktası kullanılmak şartı ile yapılmaktadır. Bu sayede, tüm parçalama senaryoları tamamlandığında, tüm parçalama noktalarının kullanıldığı ya da kullanılmadığı tüm parçalanmış bağlanım doğrusu kombinasyonları elde edilebilir. Bu nedenden dolayı, D parametrelili lexicographical parçalama yöntemi ile 2^D farklı parçalı doğrusal bağlanım fonksiyonu elde edilebilir.

Buradan itibaren, lexicographical parçalama ile oluşan doğru parçaları $R_{i,j}$ 'ler ile adlandıracağız. Bu adlandırma,

$0 \leq i < j \leq D+1$ ve $R_{i,j} \cup R_{j,k} = R_{i,k}$ özellikleri sağlanacak şekilde yapılacaktır. Bu adlandırma sayesinde gözlemleyebileceğimiz üzere tüm lexicographical bölünmeleri oluşturabilmek için $D+1$ adet $R_{i,i+1}$ şeklinde, D adet $R_{i,i+2}$ şeklinde, ve bu şekilde devam ederek 1 adet $R_{0,D+1}$ şeklinde doğru parçasına ihtiyacımız olduğunu gözlemleyebiliriz. Bu doğru parçaları toplamda yaklaşık olarak $D^2/2$ tane dir. Daha önce belirtildiği üzere bu doğru parçaları ile 2^D farklı lexicographical bölünme oluşturulabilir. Buna ek olarak yaptığımız her gözlemden $D^2/2$ tane doğrusal bağlanım modelinin hepsini güncellememize gerek yoktur. Eğer bir bağlanım vektörü $R_{i,i+1}$ bölgesine aitse bu durumda $R_{k,i+1}$ ' den $R_{k,D+1}$ 'e kadar olan tüm bölgelerdeki doğrusal bağlanım modellerini güncellemeliyiz. Burada $0 \leq k \leq i$ olmak durumundadır. Bu nedenle eğer bir bağlanım vektörü $R_{i,i+1}$ bölgesinde ise $(D-i+1)(i+1)$ tane doğrusal bağlanım modeli güncellenmelidir. Bu gözlemler ağaç yapısının neden hesaplama karışıklığını düşürmeye yardımcı olduğunu göstermektedir.

B. Parçalı Doğrusal Bağlanım Modellerin Ardışık Ortalaması

Önceki bölümlerde anlattığımız üzere D parametrelili lexicographical parçalanma ile oluşan $K = 2^D$ farklı bölünmenin her ayrı bölgesinde bağımsız bir doğrusal bağlanım modeli öğrenilerek, $K = 2^D$ parçalı doğrusal bağlanım modeli elde edebiliriz. Algoritmamızın kestirimini oluşturmak için tüm bu parçalı doğrusal modellerin ağırlıklı ortalamasını alacağız. Bu ortalamayı iyi bilinen EG [6] algoritmasını kullanarak alacağız. Eğer herhangi bir t anında K parçalı doğrusal modelin çıktılarını $\hat{d}_t^{\{k\}}$, $k = 1, 2, \dots, K$ şeklinde ifade edersek. Algoritmamızın t anındaki son çıktısı olan \hat{d}_t aşağıdaki gibi hesaplanabilir:

$$\hat{d}_t = \sum_{k=1}^K \hat{d}_t^{\{k\}} r_t^{\{k\}} \quad (7)$$

Kombinasyon ağırlıklı olan $r_t^{\{k\}}$ değerleri aşağıdaki şekilde güncellenmektedir:

$$r_{t+1}^{\{k\}} = \frac{r_t^{\{k\}} \exp(-\eta \epsilon_t \hat{d}_t^{\{k\}})}{\sum_{j=1}^K r_t^{\{j\}} \exp(-\eta \epsilon_t \hat{d}_t^{\{j\}})} \quad (8)$$

(8)' de $\epsilon_t = (e_t^2)'$ ve $\eta > 0$ sabit değerli bir öğrenim katsayısıdır. Bu ağırlıklı ortalama yöntemi ile modellerin elede edilebilecek en iyi ağırlıklı ortalamasına ulaşabiliriz. Eğer başlangıçta $r_t^{\{k\}} = 1/K$, $k = 1, 2, \dots, K$ şeklinde seçersek ve istenen sinyalin tüm t anlarında $|\hat{d}_t| \leq M$ koşulunu sağladığını kabul edersek, [6]'daki Teorem 5.10, yukarıda tarif edilen ağırlıklı ortalama yöntemi kullanıldığında aşağıdaki performans üst sınırı elde etmemizi sağlar:

$$\sum_{t=1}^n (d_t - \hat{d}_t)^2 - \min_{r_n^{\{1\}}, \dots, r_n^{\{K\}}} \sum_{t=1}^n (d_t - \sum_{k=1}^K \hat{d}_t^{\{k\}} r_t^{\{k\}})^2 \leq O(\sqrt{n}) \quad (9)$$

(9)'da verilen performans üst sınırı, algoritmamızın en iyi lexicographical parçalı doğrusal bağlanım modelinden daha iyi çalışacağını gösterir. Bu durumda bölünme noktalarının sayısı D 'yi yeterince artırdığımızda, algoritmamız önceden bilinmeyen doğru bölünmenin performansına yeterince yaklaşabilir. Algoritma bu haliyle hesaplama karışıklığı bakımından yeterli

değil, çünkü bu durumda hesaplama karışıklığı parçalı doğrusal olmayan bağlanım modellerinin sayısı ile doğru orantılı. Bir diğer ifade ile hesaplama karışıklığı bu durumda $O(2^D)$. Bu hesaplama karışıklığı ile algoritma büyük D değerleri için kullanışlı değil. Hesaplama karışıklığı bir dahaki bölümde özyineli bir yaklaşım kullanılarak ikinci dereceden polinom seviyesine düşürülecektir.

C. Hesaplama Karışıklığının Azaltılması

Bu bölümde algoritmamızı hesaplama karışıklığı bakımından efektif bir hale getirdik. İlk olarak, basit matematiksel işlemler sonucunda başlangıçta eşit ağırlıklı ortalama alarak, (8) aşağıdaki gibi ifade edilebilir:

$$r_t^{\{k\}} = \frac{\exp(-\eta \sum_{z=1}^{t-1} \epsilon_z \hat{d}_z^{\{k\}})}{\sum_{j=1}^K \exp(-\eta \sum_{z=1}^{t-1} \epsilon_z \hat{d}_z^{\{j\}})} \quad (10)$$

(10)'daki işlemi daha efektif bir şekilde yapmak için lexicographical ağacın düğümleri için değişkenler tanımlayacağız:

$$B_t^{\{R_{i,j}\}} = \exp(-\eta \sum_{z=1}^{t-1} \mathbf{1}_{u_t} \epsilon_z \hat{d}_z^{\{R_{i,j}\}}) \quad (11)$$

$$\mathbf{1}_{u_t} = \begin{cases} 1 & : u_t \in R_{i,j} \\ 0 & : u_t \notin R_{i,j} \end{cases}$$

Bu değişken ile (10)'un paydası arasında doğal olarak aşağıdaki eşitlik ortaya çıkar:

$$\sum_{k=1}^K B_t^{\{k\}} = \sum_{k=1}^K \prod_{R_{i,j} \in R^{\{k\}}} B_t^{\{R_{i,j}\}}, \quad (12)$$

burada $R^{\{k\}}$ k 'nci lexicographical modelin içerdiği bölgelerin kümesidir. Bu gerçeklerden yola çıkarak aşağıda verilen özyineli denklemleri oluşturduk:

$$C_t^{\{R_{i,j}\}} = B_t^{\{R_{i,j}\}} + \sum_{k=i+1}^{j-1} C_t^{\{R_{i,k}\}} B_t^{\{R_{k,j}\}} \quad (13)$$

$$\tilde{C}_t^{\{R_{i,j}\}} = \tilde{B}_t^{\{R_{i,j}\}} + \sum_{k=i+1}^{j-1} \tilde{C}_t^{\{R_{i,k}\}} \tilde{B}_t^{\{R_{k,j}\}} \quad (14)$$

burada

$$\tilde{B}_t^{\{R_{i,j}\}} = \begin{cases} B_t^{\{R_{i,j}\}} \hat{d}_t^{\{k\}} & : u_t \in R_{i,j} \subset R^{\{k\}} \\ B_t^{\{R_{i,j}\}} & : x_t \notin R_{i,j} \subset R^{\{k\}} \end{cases}$$

Tümevarım yöntemi ile kolayca gösterilebileceği üzere algoritmamızın son çıktısını bu özyineli ifadeler cinsinden aşağıdaki ifade ile hesaplayabiliriz:

$$\hat{d}_t = \frac{\tilde{C}_t^{\{R_{0,D+1}\}}}{C_t^{\{R_{0,D+1}\}}}, \quad (15)$$

1: **Değişkenler:**
2: η : EG algoritmasının öğrenme katsayısı
3: D : Lexicographical ağacın derinliği
4: A : $|\{u_t\}_{t \geq 1}| < A$
5: **Başlangıç:**
6: $B_0^{R_{i,j}} = 1$, $C_0^{R_{i,j}}$ 'leri, (13)'ü kullanarak hesapla
7: **Algoritma:**
8: **for** $t = 1$ **to** n **do**
9: $V_t = \{R_{i,j} : u_t \in R_{i,j}\}$
10: **for all** $\{R_{i,j}\} \in V_t$ **do**
11: $\hat{d}_t^{R_{i,j}} = \mathbf{v}_{t-1,i,j}^T \mathbf{u}_t$
12: **end for**
13: $\tilde{C}_t^{R_{i,j}}$ 'leri, (14)'ü kullanarak hesapla
14: $\hat{d}_t = \frac{\tilde{C}_t^{R_{0,D+1}}}{C_t^{R_{0,D+1}}}$
15: $\epsilon_t = l(d_t, \hat{d}_t)$
16: **for all** $\{R_{i,j}\} \in V_t$ **do**
17: $B_{t+1}^{R_{i,j}} = B_t^{R_{i,j}} \exp(-\eta \epsilon_t \hat{d}_t^{R_{i,j}})$
18: LMS algoritması [2] ile $\mathbf{v}_{t,i,j}$ 'leri güncelle [2]
19: **end for**
20: $C_{t+1}^{R_{i,j}}$ 'leri, (13)'ü kullanarak hesapla
21: **end for**

Tablo I. LEXICOGRAPHICAL AĞAÇ ALGORİTMASININ ALGORİTMİK TARİFİ.

Buna ek olarak $B_t^{R_{i,j}}$ değişkeninin ardışık güncellemesini

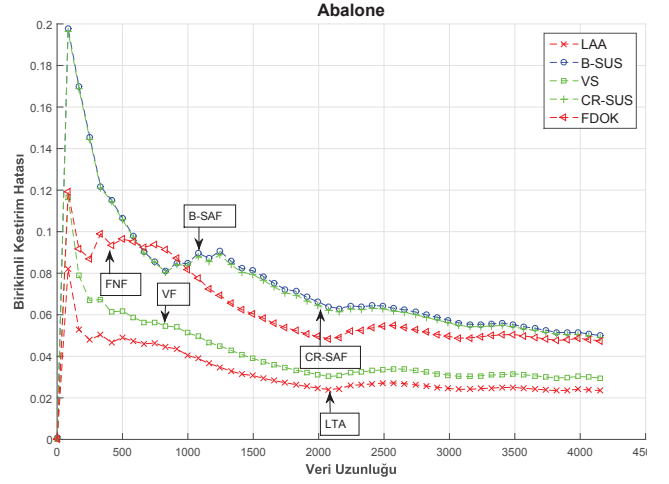
$$B_{t+1}^{R_{i,j}} = \begin{cases} B_t^{R_{i,j}} \exp(-\eta \epsilon_t \hat{d}_t^{R_{i,j}}) & : u_t \in R_{i,j} \\ B_t^{R_{i,j}} & : u_t \notin R_{i,j} \end{cases} \quad (16)$$

şeklinde yaparak (15)'deki hesabın ardışık olarak hesaplanmasını gerçekleştiririz. (16)'da $R^{i,j} \subset R^k$ koşulu sağlanmalıdır.

Daha önce belirtildiği üzere, her gözlemden sonra doğrusal bağlanım modellerinden sadece $(D - i + 1)(i + 1)$, $0 \leq i \leq D$ tanesini güncellememiz gerekiyordu. (16)'dan da anlaşılacağı üzere $B_{t+1}^{R_{i,j}}$ değişkenini sadece son bağlanım vektörünü içeren bölgeler için güncellememiz yeterli. Bu nedenle özyinelen hesaplama tekniği kullanıldığında, algoritmanın hesaplama karmaşıklığı $O(D^2)$ seviyesine düşmektedir. Bu karmaşıklık önceden $O(2^D)$ seviyesindeydi. Bu sayede algoritmamızı hesaplama karmaşıklığı bakımından da önemli ölçüde geliştirmiş olduk.

IV. DENEYLER

Bu bölümde bu bildiriye önerilen Lexicographical Ağaç Algoritmasının (LAA) otomatik öğrenme literatüründe sıklıkla kullanılan gerçek data setlerinden biri olan Abalone veri kümesi [7] üzerindeki kestirim performansı sunulacaktır. Bu kestirim performansı Şekil 2'de görülebilir. Bu şekilde, buna ek olarak parametresi 3 olan LAA algoritmasının ve sıklıkla doğrusal olmayan süzgeçlemede kullanılan "VS" ikinci dereceden Volterra Süzgeciyle [8], "FDOK" üçüncü dereceden Fourier doğrusal olmayan kestirim algoritmasıyla [9] ve "SUS" Spline Uyarlanabilir Süzgeç algoritmalarıyla karşılaştırılması da verilmiştir. Şekil 2'de görüldüğü üzere bu bildiriye önerilen LAA algoritması Abalone veri kümesi için literatürdeki diğer doğrusal olmayan süzgeçleme yöntemlerine göre daha iyi kestirim performansı göstermiştir. Bu simülasyonu gerçekleştirirken bağlanım uzayını bağlanım vektörlerini dik olarak kesen hiperuzaylarla parçaladık. Bu yolla bildiriye anlatılan tek boyutlu uzay için parçalama yöntemi, aynı şekilde çok boyutlu bağlanım uzayları için de kullanılabilir.



Şekil 2. LAA, B-SUS, CR-SUS, VS ve FDOK algoritmalarının Abalone data kümesi üzerindeki birikimli kestirim performansları

V. SONUÇLAR

Bu bildiriye sinyal işleme literatüründeki zor problemlerden biri olan doğrusal olmayan bağlanım probleminin çözümü, problemi literatürde iyi bilinen ve göreceli olarak basit olan doğrusal bağlanım problemi ile ilişkilendirilerek kolay bir hale getirilmiştir. Bu bildiriye önerilen yöntem hesaplama karmaşıklığı açısından efektif bir yöntemdir. Önerilen algoritmanın çalışması için bağlanım vektörlerinin ve istenen sinyalin büyüklüğünün sınırlı olması dışında gerekli hiç bir bilgiye ve koşula ihtiyaç yoktur. Ayrıca önerilen algoritmanın birikimli kestirim performansı diğer doğrusal olmayan süzgeçleme yöntemleri ile karşılaştırılmış ve onlardan daha iyi performans gösterebileceği gözlemlenmiştir.

KAYNAKÇA

- [1] S. Kozat and A. Erdogan, "Competitive linear estimation under model uncertainties," *Signal Processing, IEEE Transactions on*, vol. 58, no. 4, pp. 2388–2393, April 2010.
- [2] A. H. Sayed, *Fundamentals of Adaptive Filtering*. NJ: John Wiley & Sons, 2003.
- [3] O. J. J. Michel, A. O. Hero, and A.-E. Badel, "Tree-structured nonlinear signal modeling and prediction," *IEEE Transactions on Signal Processing*, vol. 47, no. 11, pp. 3027–3041, 1999.
- [4] S. S. Kozat, A. C. Singer, and G. C. Zeitler, "Universal piecewise linear prediction via context trees," *IEEE Transactions on Signal Processing*, vol. 55, no. 7, pp. 3730–3745, 2007.
- [5] F. Willems, Y. Shtarkov, and T. Tjalkens, "Context weighting for general finite-context sources," *Information Theory, IEEE Transactions on*, vol. 42, no. 5, pp. 1514–1520, Sep 1996.
- [6] J. Kivinen and M. K. Warmuth, "Exponentiated gradient versus gradient descent for linear predictors," *Journal of Information and Computation*, vol. 42, no. 5, pp. 1514–1520, 1996.
- [7] C. Blake and C. Merz, "UCI Machine Learning Repository." [Online]. Available: <http://archive.ics.uci.edu/ml/index.html>
- [8] V. Mathews, "Adaptive polynomial filters," *Signal Processing Magazine, IEEE*, vol. 8, no. 3, pp. 10–26, July 1991.
- [9] A. Carini and G. Sicuranza, "Recursive even mirror fourier nonlinear filters and simplified structures," *Signal Processing, IEEE Transactions on*, vol. 62, no. 24, pp. 6534–6544, Dec 2014.